

### III-13 飽和砂の非排水強度特性に及ぼす応力履歴の影響

北海道大学工学部 正員 北郷繁  
 北海道大学工学部 正員 土岐祥介  
 北海道大学工学部 正員 ○武田寛

#### 1. まえがき

砂の排水条件下での強度特性が以前に受けた応力(ヒストリ)履歴の影響を受けることを先に報告したが、ここでは三軸圧縮試験機を用いて、非排水条件のもとで種々の応力履歴をあたえることによって、飽和砂の非排水強度特性が如何に影響されるかを述べる。

#### 2. 実験方法

供試体に種々の応力履歴をあたえる操作は次のようにして行った。初期圧縮比  $e_0 = 0.680$  の供試体を圧密後、非排水条件下で正弦波的に変化する軸方向応力  $\sigma_{As}$  と半径方向応力  $\sigma_{Rs}$  を、図-1(a)のごとく逆位相で載荷し、供試体内に図-1(b)で示されるセン断応力  $\sigma_c$  を発生させた。

この操作を 2 サイクル行い、3 サイクル目において最大圧縮状態尼、および最大伸張状態  $P_c$  の位置で載荷を中断し、等方応力状態に戻して  $\sigma_{As}' = \sigma_{Rs}' = \sigma_s' = 2.0 \text{ kg/cm}^2$  の圧密圧で再び圧密を行った。この時点での粒子配列構造は繰返し載荷終了時に作られたものと大差がないと考えた。 $\sigma_R$  の最大値  $\sigma_{Rmax}$  は同一間隔比の処女供試体の排水圧縮試験から得られた破壊強度とし、 $\sigma_{Rmax}$  と各  $\sigma_R$  との比  $R$  を  $0.125, 0.25, 0.50, 0.75, 1.00$  の 5 段階に変えて実験を行い、繰返し載荷応力の大きさの影響を調べた。圧縮試験は排水条件下で  $\sigma_{Rs}$  を一定 ( $2.0 \text{ kg/cm}^2$ ) に保ち、 $\sigma_{As}$  を増加させて行った。用いた試料は豊浦砂である。以下において載荷を  $P_c$  や  $P_s$  において終了した供試体を、それぞれ  $P_c$ -供試体、 $P_s$ -供試体と呼ぶ。

#### 3. 実験結果と考察

$P_c$ -供試体について行った圧縮試験の応力-ヒストリ運動の代表例を示したのが図-2 である。この応力-ヒストリ曲線にはヒストリの初期部分とさらにヒストリが進んだ部分のそれそれに直線部分があり、初期直線部分から求められる変形係数を  $E_i$  とし、後の部分からのものを  $E_t$ とした。まず、 $E_i$  に注目する。圧縮試験開始前の間隔比  $e_0$  と  $E_i$  の関係を示したのが図-3 である。ここで、 $e_0$  と初期圧縮比  $e_0 = 0.680$  との差は繰返し載荷を行うことによってもたらされたものである。この図において、 $E_i$  を処女供試体の変形係数正値(破線)と比較すると、両者の比は  $R = 0.50 \approx 1.5, R = 0.75 \approx 1.8, R = 1.00 \approx 2.3$  である。明らかに載荷応力の影響が  $E_i$  には現われている。次に  $E_t$  に着目する。図-4 に示す  $E_t$  と  $e_0$  との関係は図中の破線で示した処女供試体の  $e_0$  と  $E_t$  の関係に比べて特に差があるとは認められず、したがって、繰

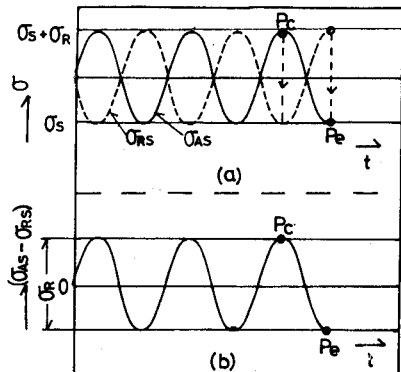


Fig.-1

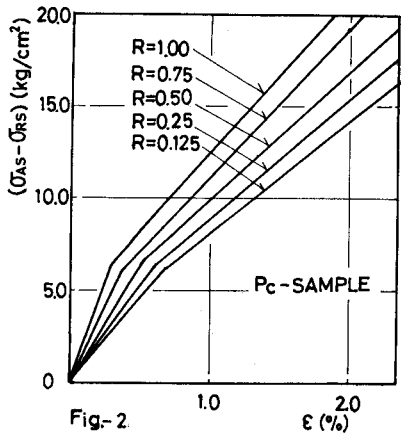


Fig.-2

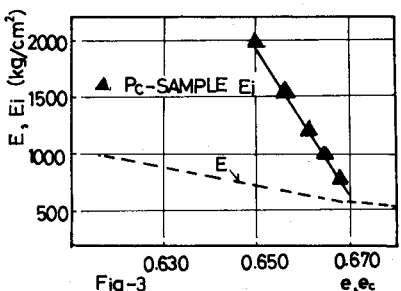


Fig.-3

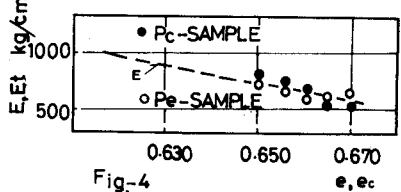


Fig.-4

返し載荷を受けた後の  $P_c$ -供試体の  $E_t$  の増大は、繰返し載荷中にもたらされた間ゲキ比の減少によるものと考えられ、応力履歴によるものとはいえない。

図-5は  $P_e$ -供試体の圧縮試験における応カーヒズミ挙動の代表例を示したものである。この  $P_e$ -供試体の応カーヒズミ曲線には、 $P_c$ -供試体と異なりヒズミの初期部分に直線とみなせる部分がなく、その勾配はヒズミとともに変化している。そしてあるヒズミ ( $R=0.125 \sim 1\%$ ,  $R=1.00 \sim 4\%$ ) を過ぎると直線を示す。そこで、初期曲線部分の各点を接線を取りこの傾きを  $E_{t0}$  とし、これを変形が進んだ後の直線部分の傾き  $E_t$  で除して得られる値  $E_t/E_{t0}$  とヒズミの関係を、Rをパラメーターとして示したのが図-6である。この図から明らかのように、圧縮試験の初期の応カーヒズミ挙動に繰返し載荷応力の影響が現われ、 $R=0.25, 0.50 \sim 2\%$ ,  $R=0.75 \sim 3\%$ ,  $R=1.00 \sim 4\%$  とこの影響は消失している。そして、この影響の度合はRが大になるほど著しいといえる。一方、図-4に示した  $E_t$  は先に述べた  $P_c$ -供試体と同様、その増大は繰返し載荷による間ゲキ比の減少のためで、応力履歴の影響によるものではないといえよう。

以上に述べた  $P_c$ ,  $P_e$ -供試体の応カーヒズミ挙動における違いは、繰返し載荷終了時の最大主応力の方向によってもたらされると考えられる。すなわち、 $P_c$ においては、軸方向応力に対してすぐに硬化が生じているために、処女供試体よりも高い強度を变形の初期において動員することができる。一方  $P_e$ -供試体では、最大主応力が半径方向にある時載荷が終了しているので、硬化は半径方向に生じている。したがって軸方向に対して強度を發揮するためには大幅な粒子の再配列が生じ、その再配列が終了するまでに大きな变形を必要とすると考えられる。図-7は圧縮試験時の間ゲキ圧係数Aの最大値とRの関係を示したものである。 $P_e$ -供試体の  $A_{max}$  は他の供試体のそれよりも大きくその傾向はRが大になるとにつれて顕著となる。また、図-8は繰返し載荷中の軸差応力と発生間ゲキ水圧  $\Delta U$  の関係を示したものである。 $\Delta U$  は  $(\sigma_{As}-\sigma_{Rs})$  の最大の時に最大値とはならず、主応力面が回転する際に最大値となっている。これらの事実から、 $P_e$ -供試体が他の供試体に比べて变形の初期に小さな強度しか発揮できないのは、主応力面の回転が生じる時粒子の再配列が最も著しく、それに伴ない高い間ゲキ水圧が発生するためと考えられる。図-6に示す傾向は飽和圧に発生する間ゲキ水圧のこのような特性によるものであろう。

あとがき  
非排水条件下で導入された応力履歴は、砂の初期の強度特性に影響をあたえ、特に主応力面が回転するときにそれが著しいことを示した。なお、実験の実施や整理にあたり、昭和50年 本学卒業生、磯崎一、木村博嗣君に多大なる協力を得た。記して謝意を表するものである。

## 参考文献

- 1) 土岐・北郷・藤波:応力履歴により作られた砂の異形生の変形に及ぼす影響、第29回土木学会年次講演会

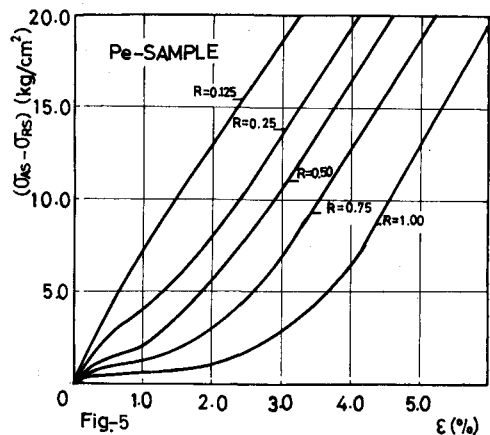


Fig-5

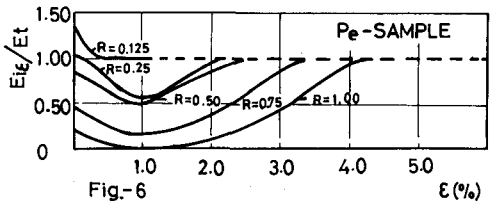


Fig-6

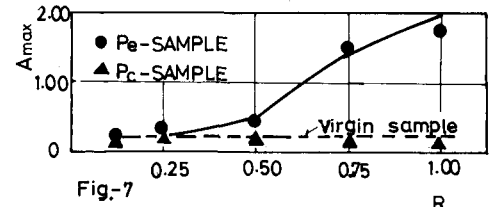


Fig-7

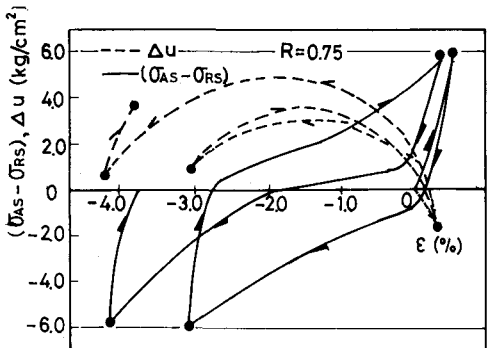


Fig-8